

**МОДЕЛЮВАННЯ РОБОТИ ПЛИТ ЗІ ЗМІШАНИМ АРМУВАННЯМ
ПРИ ДІЇ ПОПЕРЕЧНОГО ЗГИНУ ЗА ДОПОМОГОЮ ПК “ЛИРА-
САПР”**

**МОДЕЛИРОВАНИЕ РАБОТЫ ПЛИТ СО СМЕШАННЫМ
АРМИРОВАНИЕМ ПРИ ДЕЙСТВИИ ПОПЕРЕЧНОГО СГИБА ПРИ
ПОМОЩИ ПК “ЛИРА-САПР”**

**MIXED REINFORCEMENT SLABS UNDER THE ACTION OF CROSS
BENDING USING “LIRA-SAPR” PC SOFTWARE SIMULATION**

Бова Я.О., к.т.н., доцент (Київський національний університет будівництва і архітектури, м. Київ)

Бова Я.А., к.т.н., доцент (Киевский национальный университет строительства и архитектуры, г. Киев)

Bova Y.O., Ph.D., Associate Professor (Kyiv National university of construction and architecture)

Наведено методику моделювання роботи плит зі змішаним армуванням при дії поперечного згину та виконано порівняння отриманих результатів з експериментальними даними прогинів у програмному комплексі “ЛИРА-САПР”.

Приведено методику моделирования работы плит со смешанным армированием при действий поперечного изгиба и выполнено сравнение полученных результатов с экспериментальными данными прогибов в программном комплексе “ЛИРА-САПР”.

This work presents the modeling procedure of mixed reinforcement slabs under the action of cross bending and compared this results with the experimental data of deflections in "LIRA-SAPR" PC software.

Ключові слова: армування, бетон, двовісне, змішане, коефіцієнт, напруження, несуча здатність, прогин, ПК “ЛИРА-САПР”.

Армирование, бетон, двухосное, смешанное, коэффициент, напряжение, несущая способность, прогиб, ПК “ЛИРА-САПР”.

Reinforcement, concrete, biaxial, mixed, coefficient, deflections, cross bending, “LIRA-SAPR” PC software.

Вступ. У науковій практиці все більше уваги приділяють застосуванню програмних комплексів для розрахунку будівель та споруд. Але не всі вони можуть бути використанні для повноцінного розрахунку елемента або конструкції з урахуванням їого нелінійної роботи під дією внутрішніх та зовнішніх впливів. Враховуючи зазначені умови було прийнято рішення використати програмний комплекс “ЛИРА-САПР”. В основу цієї програми закладений розрахунок елементів та конструкції методом скінчених елементів з можливістю врахування геометричної та фізичної нелінійності матеріалів.

Огляд останніх джерел досліджень і публікацій. Аналіз останніх літературних джерел [1,2,3,4,5] виявив, що реалізація попереднього напруження в плоских безбалочних плитах потребує більш детального моделювання з врахуванням змішаного армування у таких конструкціях.

Виділення невирішених раніше частин загальної проблеми. Враховуючи особливості роботи плит зі змішаним армуванням при поперечному згині, постало питання: чи можливо використовувати ПК “ЛИРА-САПР” для моделювання таких елементів, і які дані при цьому можливо отримати?

Постановка завдання. Для вирішення поставленої задачі, використали дані отримані в результаті експерименту [6], що був проведений в КНУБА. Для моделювання роботи плит зі змішаним армуванням при поперечному згині використали 3 серії плит середньої товщини, розміром 800×800 мм та товщиною 75 мм (рис.1). Кожна серія мала свій коефіцієнт змішаного армування (табл.1).

Таблиця 1

Об'єм та характеристики плит-зразків

№ серії та шифр зразка	Розміри плит-зразків, мм			Коефіцієнт змішаного армування $K_p = \frac{A_p}{A_{s,tot}}$	К-сть та клас напруженої арматури	К-сть та клас ненапруженої арматури	К-сть зразків, шт.	Ціль випробування
	<i>h</i>	<i>l</i>	<i>b</i>					
П-1 (ненапр. арм.)	75	800	800	0	-	18 A500C	4	Міцність, гріцино-стійкість і прогини при різних способах армування
П-2 (зміш. арм.)	75	800	800	0,65	10 A800C	8 A500C	4	
П-3 (попер. напр. арм.)	75	800	800	1	18 A800C	-	4	

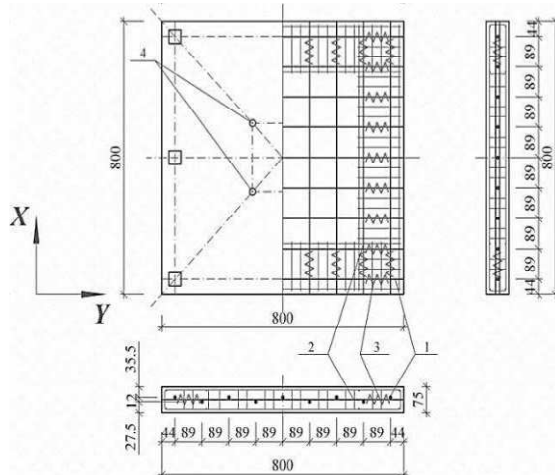


Рис. 1. Армування випробувального зразка плити:
1 – арматурні стержні; 2 – ‘ Γ ’-подібні арматурні сітки; 3 – спіралі;
4 – круглі марки

Основний матеріал і результати. Виходячи з геометричних та фізичних характеристик експериментального зразка, для визначення напруженодеформованого стану, плита була розбитта на скінчені вузли та об’ємні елементи. Після розбиївки плити отримали вузли, які були з’єднані по точкам, утворюючи об’ємний скінчений елемент КЄ-236 (рис.2). Попередньо напружену та ненапружену арматуру моделювали за допомогою універсального стержневого КЄ-410, так як і в експерименті, розміщена в тілі плити. Для запобігання руйнування приопорної зони плити змодельовані просторові каркаси по периметру за допомогою скінченого елементу КЄ-410.

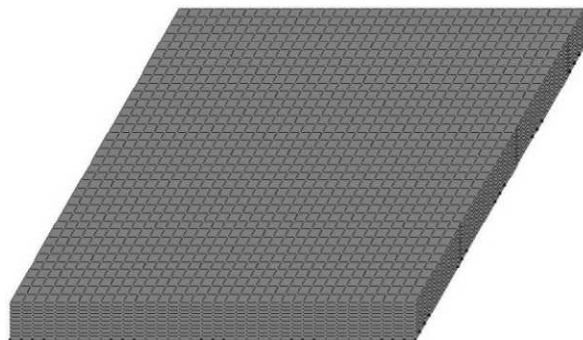


Рис. 2. Розбиївка плити на скінчені елементи

На наступному етапі моделювання введені необхідні характеристики бетону та арматури з врахуванням їх нелінійної роботи. Для бетону використано 21-й експоненціальний закон деформування бетону $\sigma - \varepsilon$, а для арматури 11-й – експоненціальний закон деформування сталі. Характеристики бетону та арматури вказані за даними експериментальних досліджень [6].

Попереднє напруження створюють за допомогою різниці температур стержня (рис.3). Згідно із запропонованою методикою, наведеною в [7], різницю температур визначають за формулою:

$$t_1 - t_2 = -\frac{\varepsilon_0}{\alpha}, \quad (1)$$

де ε_0 – деформації, що виникають внаслідок попереднього натягу стержня з врахуванням усіх втрат до моменту прикладення зовнішнього навантаження, і визначається за формулою:

$$\varepsilon_0 = \frac{(\sigma_{pm,0} - \Delta\sigma_{p,c+s+r})}{E_p}, \quad (2)$$

де $\sigma_{pm,0}$ – напруження у арматурі відразу після натягу на упори або відпуску, яке прийнято $0,85 f_{p0,lk}$;

$\Delta\sigma_{p,s+s+r}$ – абсолютне значення зміни напружень внаслідок повзучості, усадки бетону та релаксації арматури (втрати від попереднього напруження);

E_p – модуль пружності напружененої сталі прийнятий згідно [6];

α – коефіцієнт лінійного розширення арматурної сталі, град⁻¹ (для сталі в даному випадку прийнято $\alpha = 0,000011$ град⁻¹).

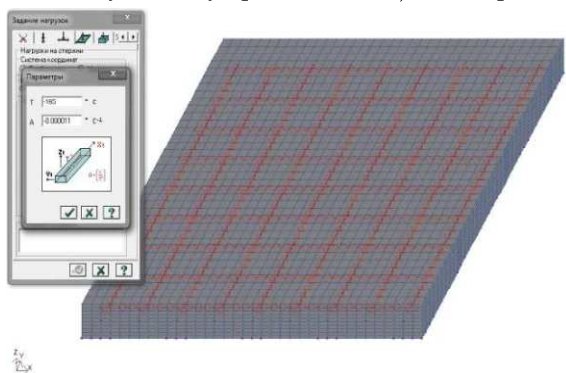


Рис.3. Створення попереднього напруження за допомогою температури нагріву стержня.

Після того як усі параметри матеріалів задані, а також введено зусилля попереднього напруження, моделюють нелінійне навантаження конструкції. Для більш коректного моделювання роботи плити при навантаженні необхідно розкласти зусилля на два етапи: на першому етапі навантаження – дія зусилля попереднього напруження, на другому – це зовнішнє навантаження, яке було прикладене на зразок-плиту. Слід зазначити, що зусилля натягу арматури прикладали одним навантаженням, а зовнішнє зусилля прикладене ступенями. Зовнішнє зусилля прикладали на металеві пластини, які розміщені безпосередньо на плиті.

В результаті комп’ютерного обчислення створеної моделі роботи отримано значення граничних прогинів та загальну картину руйнування плит з різним коефіцієнтом змішаного армування. Для більш зручного вигляду результати граничних прогинів зображені у вигляді графіків порівняння експериментальних та отриманих під час розрахунку програмою даних (рис. 4-6) та у вигляді ізополей вертикальних переміщень (рис. 7-9).

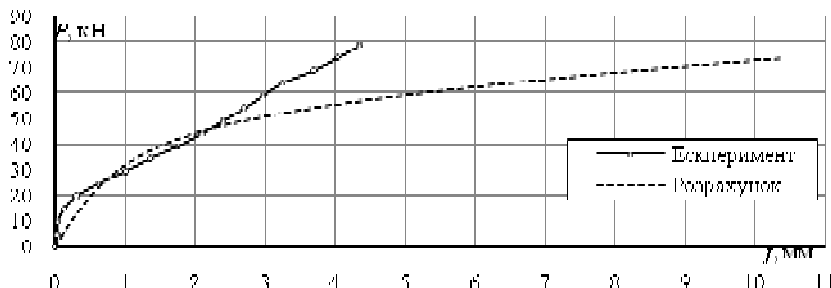


Рис. 4. Порівняння отриманих значень прогинів під час експерименту з результатами розрахунків програмою серії П-1.

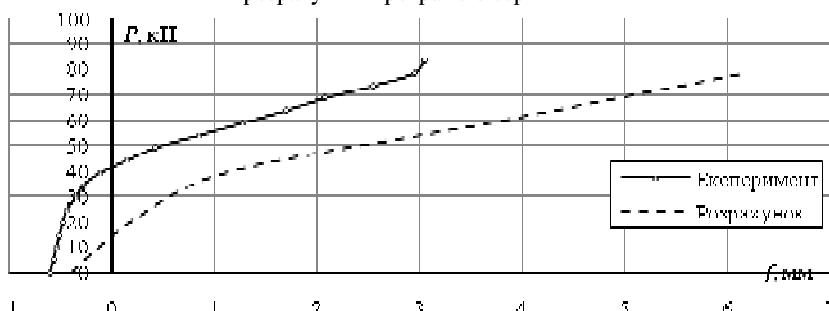


Рис. 5. Порівняння отриманих експериментальних значень прогинів з урахуванням вигину з результатами розрахунків програмою серії П-2.

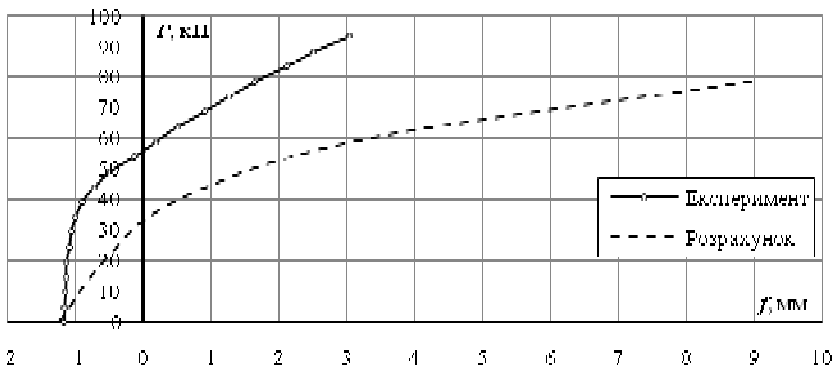


Рис. 6. Порівняння отриманих експериментальних значень прогинів з урахуванням вигину з результатами розрахунків програмою серії П-3.

Враховуючи, що несучу здатність в ПК “ЛІРА-САПР” важко оцінити за розрахунок того, що велика кількість об’ємних елементів, то за основні показники прийнято вертикальне переміщення та кінцевий протокол стану матеріалів. В результаті отримали значення переміщень зразків-плит серії П-1, П-2 та П-3 при навантаженні 0,8 від руйнівного зусилля і порівняли ці значення з даними випробувань.

Для плити серії П-1 (зі звичайною арматурою) прогини в результаті розрахунку становили 6,20 мм, тобто $f_{\text{ЛІРА}} \approx \frac{l}{130}$, при цьому експериментальний прогин дорівнював $f_{\text{exp}} = \frac{l}{225}$ (рис. 4).

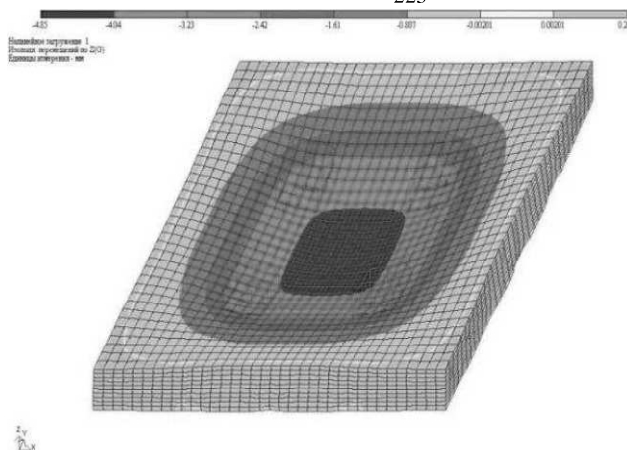


Рис. 7. Ізополе вертикальних переміщень від зовнішнього навантаження для плити серії П-1 при $0,8P_u$

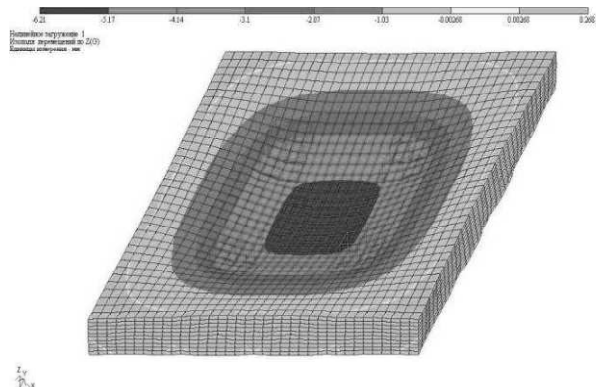


Рис. 8. Ізополе вертикальних переміщень від зовнішнього навантаження для плити серії П-2 при $0,8P_u$

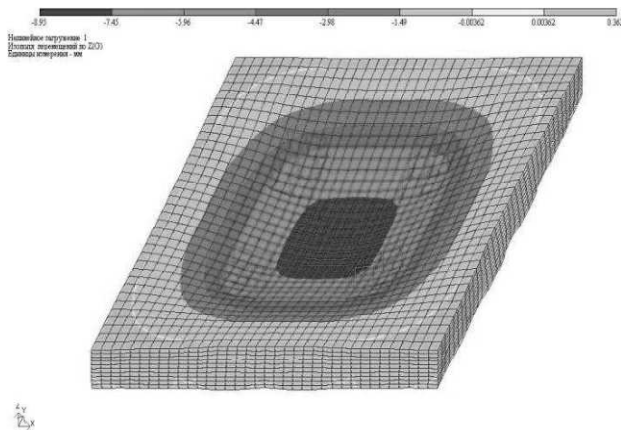


Рис. 9. Ізополе вертикальних переміщень від зовнішнього навантаження для плити серії П-3 при $0,8P_u$

Прогин у плитах серії П-2 (зі змішаним армуванням) фактично такий же, як і у плитах серії П-1, і становив 6,21мм. При цьому фактичний прогин, в результаті випробувань з урахуванням вигину дорівнював $f_{exp} = \frac{l}{260}$ (рис. 5).

При розрахунку прогин плит серії П-3 (з попередньо напружену арматурою) дорівнював 8,95мм, в той час як експериментальний прогин дорівнював $f_{exp} = \frac{l}{490}$ (рис. 6).

В результаті комп'ютерного моделювання встановлено, що тільки зразки зі звичайним армуванням (серія П-1) відповідають дійсній роботі плити при

продавлюванні, хоча і мають деяке розходження в прогинах на останніх етапах завантаження.

В плитах серії П-2 та П-3 спостерігаємо збільшення прогинів у порівнянні з отриманими експериментальними даними. Це можна пояснити тим, що програма при моделюванні зусиль натягу враховує попереднє напруження як негативне навантаження, це в свою чергу впливає на міцність та прогини. Отже, розрахунок на продавлювання плит зі змішаним армуванням, як і з повністю напруженим, на даний час не достатньо точно відповідає дійсній роботі плит і потребує подальшого вдосконалення. Необхідно, щоб попереднє напруження не мало негативних наслідків на міцнісні характеристики матеріалів, в першу чергу бетону.

1. Арсланбеков М.М. Исследование прочности, трещиностойкости и жесткости железобетонных изгибаемых элементов со смешанным армированием // Дисс.канд.техн.наук. М. – 1983 – с. 166.
2. Журавський О.Д. Напряженно-деформированное состояние железобетонных плит при двухосном предварительном обжатии // Автореферат. Киев, 1988 – с. 25.
3. Карчемский М.Ю. Железобетонные плиты, предварительно напряженные в двух направлениях / М.Ю. Карчемский. – К.: Госстройиздат, 1958 – с. 121.
4. Лисицин Б.М. Теоретическое и экспериментальное исследование предварительно напряженных в двух направлениях железобетонных плит и шатровых панелей: автореф. канд. дисс. / Б.М.Лисицин // – Киев, 1961 – с. 20.
5. Бабич Є.М. Залізобетонні балки і плити зі змішаним армуванням/ Є.М. Бабич, О.П. Борисюк, П.П. Коцбчук // Вид-во – Рівне, 1998 – с. 134.
6. Бова Я.О. Залізобетонні плити зі змішаним армуванням // Автореферат. Київ, 2013 – с. 22.
7. Верюжский Ю.В. Компьютерные технологии проектирования железобетонных конструкций / Ю.В. Верюжский, В.И. Колчунов, М.С. Барабаш, Ю.В. Гензерский //. – К.: Книжкове вид-во НАУ, 2006. – 808 с.